

## ტუტებიზათა ლითონების პიროვაცეტატების შანგაჯიანი კოლიერების შესზავლა

ნაირა ენდელაძე, მანუჩარ ჩიქოვანი, ნინო კახიძე, ლაშა ხვიჩია  
(აკ. წერეთლის სახელმწიფო უნივერსიტეტი)

**რეზიუმე:** შესწავლილია ტუტებიზათა ლითონების სტრუქტურებში კოორდინაციული პოლიედრები. პილროვაცეტების შესაბამისი ნაერთების კრისტალური ფორმულებია: კალ-ციუმი:  $\text{CaH}(\text{CH}_3\text{COO})_2 \cdot \text{H}_2\text{O}$ , სტრონციუმი(2):  $\text{SrH}(\text{CH}_3\text{COO})_2 \cdot 2\text{H}_2\text{O}$ ,  $\text{SrH}_2(\text{CH}_3\text{COO})_2 \cdot 2\text{H}_2\text{O}$ , ბარიუმი(3):  $\text{BaH}_2(\text{CH}_3\text{COO})_3$ ,  $\text{BaH}(\text{CH}_3\text{COO})_3 \cdot \text{H}_2\text{O}$ ,  $\text{BaH}(\text{CH}_3\text{COO})_3 \cdot 5\text{H}_2\text{O}$ .

ლითონის ატომების კოორდინაციული რიცხვი პოლიედრებში 7–10-ის საზღვრებშია და კონტრეტულად რეალიზებულია გადაგვარებული მრავალწახნაგებით.

$\text{CaH}(\text{CH}_3\text{COO})_2 \cdot \text{H}_2\text{O}$  და  $\text{BaH}_2(\text{CH}_3\text{COO})_3$  სტრუქტურებში ლითონის ატომის უანგბადიანი პოლიედრები ერთმანეთს უკავშირდება ამა თუ იმ ხერხით (უმთავრესად წიბოებით და წახნაგებით), წარმოქმნის უსასრულო ერთგანსხომილებიან მოცულობით სეტებს.

$\text{Sr}(\text{H}_2\text{O})_2(\text{CH}_3\text{COO})_2$ ,  $[\text{H}_2(\text{CH}_3\text{COO})_2]$  და  $\text{Sr}(\text{H}_2\text{O})_2(\text{CH}_3\text{COO})(\text{H}(\text{CH}_3\text{COO})_2)$  სტრუქტურების შედარებით დასტურდება მათი აღნაგობის მსგავსება.

სტრუქტურის აღნაგობის საფუძველია სტრონციუმის ატომის პოლიედრების უსასრულო ზიგნაგისებრი ჯაჭვი. „მჟავა“ აცეტატების ორივე წარმომადგენელი მიუჟორნია ნაერთების ახალ პომოლოგიურ სერიას – პილრატირებულ პილროვაცეტების. მათი საერთო ფორმულაა  $\text{Me}(\text{H}_2\text{O})_2(\text{CH}_3\text{COO}) \cdot \text{Hn}[(\text{CH}_3\text{COO})_n\text{CH}_3\text{COO}]$ .

**საქვანძო სიტყვები:** ბმა; კოორდინაცია; პოლიედრი; შრე; წახნაგი; წიბო; პილროვაცეტატი.

### შესავალი

ტუტები და ტუტებიზათა ლითონების სინთეზი და სამშაგი (წყალი-მჟავა-მარილი) ან ორ-მაგი უწყლესისტების კვლევა უკვე დიდი ხანია მიმდინარეობს.

სტრუქტურული გვგმთ გამოვლენულია მხოლოდ ის ნაერთები, რომლებიც პაერზე საქმაოდ მდგრადია. პილროვაცეტების და (პილროვორმიატების) უმრავლესობა ჩეველებრივ პირობებში სწრაფად იშლება და შეუძლებელია მათი მონოკრისტალების შესწავლა წინასწარმეტების გარეშეაცილებული გარეშე. ამ ნაერთების აღნაგობის შესწავლის აქტუალობა (თეორიული და პრაქტიკული თვალსაზრისით) განისაზღვრება მათში არა მარტო ძლიერი წყალბადური ბმის არსებობით, არამედ უმნიშვნელოვანესი თეოსებებით, რომლებიც დამახასიათებელია დაბალი კარბომჟავების მარილებისათვეის.

ტუტები და ტუტებიზათა ელემენტების აცეტატებისა და ფორმიატების კრისტალები გამოიყენება მრავალი ნაერთის გასაშემნებლად (მჟავების, გამსხვევების და სხვ.) მიკრომინარევებისაგან, ხოლო პილრომარილის შედგენილობის (კოდნა აუცილებელია იმისათვის, რომ

განისაზღვროს მთელ რიგ მუკაბელში რა ფორმით იმყოფება ლითონების ჰიქომინარევები, რომლებიც გამოიყენება მიკროელექტრონიკაში.

### ძირითადი ნაწილი

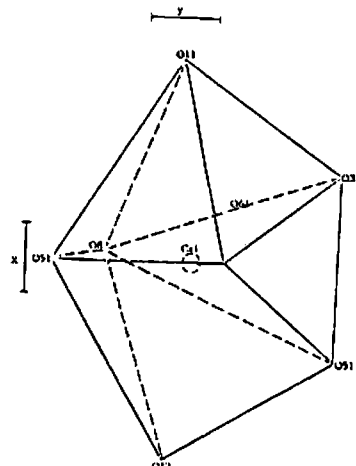
სინთეზირებული და გასრდილია ტუტე და ტუტემიწათა ლითონების პიდროაცეტატუბის მონოკრისტალები. კერძოდ:  $\text{CaH}(\text{CH}_3\text{COO})_2 \cdot 2\text{H}_2\text{O}$ ;  $\text{SrH}_2(\text{CH}_3\text{COO})_2 \cdot 2\text{H}_2\text{O}$ ;  $\text{SrH}(\text{CH}_3\text{COO})_2 \cdot 2\text{H}_2\text{O}$ ,  $\text{BaH}_2(\text{CH}_3\text{COO})_2$ ;  $\text{BaH}(\text{CH}_3\text{COO})_2 \cdot \text{H}_2\text{O}$ ;  $\text{BaH}(\text{CH}_3\text{COO})_2 \cdot 5\text{H}_2\text{O}$ .

დაზუსტებულია კრისტალთა ზრდის პირობები რენტგენოსტრუქტურული ანალიზისათვის. ადსანიშნავია, რომ პრაქტიკულად შეუძლებელია კერძო შემთხვევაში პიდროაცეტატის მონოკრისტალის მიღება უწყლო (მეაგა-მარილის) სისტემისაგან. რაღაც კრისტალიზაციის პროცესში მყარებება სარეაქციო მასა და შეუძლებელია კრისტალის ერთმანეთოსაგან დაცილება. ამიტომ საჭირო გახდა წყალნაერთობით მუშაობა. კრისტალთა გადაღება ჩატარდა ევაკუირებულ პირექსის კაპილარში დედა ხსნარის შრის ქვეშ CAD-4-SDP მონოკრისტალურ აეტომატურ დიფრაქტომეტრზე. კერძო გამოფენა ტარდებოდა მინი ეგმ PDP 11/55 I-ზე ENX SDP კომპიუტერული პროგრამით [1].

შედეგები და მათი განხჯა. კალციუმის დიპიდრატის პიდროაცეტატის შესწავლის საუმჯელზე დაგენილ იქნა, რომ სტრუქტურაში არსებობს კალციუმის ორი სახის კათონები უნგალის ატომებთან სხვადასხვა კოორდინაციით.

კორდინაციული პოლიედრები  $\text{Ca1}$  და  $\text{Ca2}$  საქმაოდ როცელია და განსხვავებული ამ ატომების მაკრორდინირებული კარბოქსილის ჯგუფის ფუნქციონალური როლით.

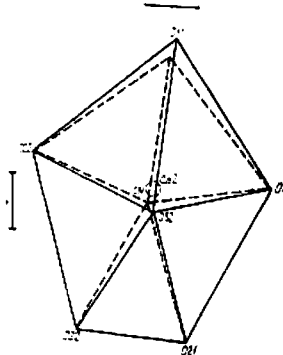
$\text{Ca1}$  ატომის პოლიედრი წარმოქმნილია კარბოქსილის ჯგუფის ექენი ფანგბადის ატომითა და წყლის მოლეკულით. პოლიედრის ფორმა მნელი დასახასიათვებელია, რაღაც იგი წააგავს გადაგვარებულ პენტანგონურ ბისირამიდას ან ერთქულის ოქტაედრს. გადაგვარების შესახებ მიუთითებს. მაგალითად, კუთხე  $O(6)-\text{Ca}(1)-O(8)W$  ტყლია 1560-ის (ნახ. 1).  $\text{Ca2}$  ატომის პოლიედრი წარმოქმნილია ფანგბადის რეა ატომისაგან (ერთი მათგანი წყლის მოლეკულისაა). კერძაზე უფრო პოლიედრი აპროქსიმირდება გადაგვარებული დოდეკაედრის სახით.



ნახ. 1.  $\text{Ca1O}_1$  კორდინაციული პოლიედრის პროექცია სიბრტყეზე ( $xy0$ )

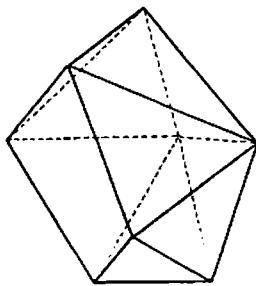
$\text{Ca}_2\text{O}_8$  პოლიედრები უკავშირდება  $\text{O}_{22}$ - $\text{O}'_{22}$  წიბოთი. თითოეულ მათგანს ზემოთ და ქვე- მოთ  $\text{O}_{12}$ - $\text{O}_{11}$  და  $\text{O}_{31}'$ - $\text{O}_{12}$  წიბოებზე მიერთებული აქვს  $\text{CaI}_7$  პოლიედრები და წარმოქმნის დამახასიათებელ სკემების. ეს სკემები ჩამაგრძელება საერთო სტრუქტურაში აცეტატური ჯგუფის წყალბადური ბმებით და ორი მოლეკულა წყლით (ნახ. 2).

აღსანიშნავია, რომ  $\text{Ca}$ -ის ატომების მსგავსი აღნაგობა აღმოჩენილია კალციუმისა და სპილენის საშუალო აცეტატებში [2,3].



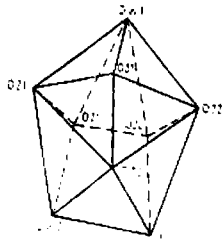
ნახ. 2. კოორდინაციული პოლიედრის პროექცია  $\text{Ca}_2\text{O}_8$  სიმრტყეზე ( $xy\text{O}$ )

სტრონციუმის დიანდრატის პიდროაცეტატის სტრუქტურაში  $\text{SrH}(\text{CH}_3\text{COO})_2 \cdot 2\text{H}_2\text{O}$   $\text{Sr}$ -ის ატომები იკავებს საერთო პოზიციას და კოორდინირებულია ეანგბადის რეა ატომით, რო- მელთაგანაც ოთხი მიუკუთხნება სამ  $\text{Ac}(2)$  მონომერს (კრთი მათ შორის ეკონტაქტება ბი- დენტატურად), ხოლო ორი – დიმერს  $\text{Ac}(1) \cdots \text{Ac}(1)^*$ ... $\text{Ac}(3)$  (მონოდენტატური კონტაქტი) და ორი ეანგბადის ატომი მიუკუთხნება წყლის ორ მოლეკულას. კოორდინაციული  $\text{SrO}_8$  პო- ლიედრი (ნახ. 3) წარმოადგენს გადაგვარებულ დოდეკაგორს ( $(\text{Sr}-\text{O})_{12}$ , 2,601 Å).



ნახ. 3. კოორდინაციული  $\text{SrO}_8$  პოლიედრის პროექცია

სტრონციუმის დიანდრატის  $\text{Sr}(\text{H}_2\text{O})_2(\text{CH}_3\text{COO})[\text{H}_2(\text{CH}_3\text{COO})_2]$  პიდროაცეტატის სტრუქტუ- რის მიხედვით თუ გიმსჯელებთ, შეიძლება ჩაითვალოთს, რომ სტრუქტურის ძირითადი სა- შენი ელემენტია  $\text{SrO}_8$  პოლიედრებისაგან შექმნილი ზიგზაგისებრი ჯაჭვები (ნახ. 4).



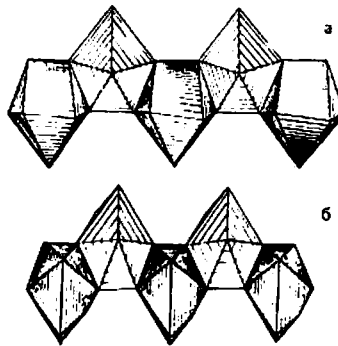
ნახ. 4. ქორდინაციული  $\text{SrO}$  პოლიედრის პროექცია სიბრტყეზე(001)

(კალკეული 022-22 და 021-21 პოლიედრი წიბოებითაა ბმული და ერთმანეთში გადადის ინვერსიის ცენტრით. ჯაჭვები წარმოქმნის ნეიტრალურ პოლიმერულ ურაგმენტებს  $[\text{Sr}(\text{H}_2\text{O})_2\text{H}_2(\text{CH}_3\text{COO})_3, \text{CH}_3\text{COO}]$ .

სტრონციუმის ატომის პოლიედრები წარმოქმნილია შეიძინ ატომი უანგბადისაგან, რომელთაგან ხუთი აცეტატური ჯგუფისაა და ორი – წყლის მოლეკულების.

აცეტატური ურაგმენტები ერთმანეთს უკავშირდება ბიდენტატურად და ურთიერთსაწინააღმდეგოდაა მიმართული კარბოქსილის ჯგუფის  $90^\circ$ -ით შემობრუნების შედეგად.

სტრონციუმის ატომის პოლიედრი წარმოადგენს ძლიერ გადაგვარებულ ერთქუდინ ტეტრაგონალურ ანტიპრისმას. საშუალო მანძილი  $\text{Sr}-\text{O}$  ტოლია  $2,654(7)\text{\AA}$ -ის, რაც მხოლოდ  $0,02\text{\AA}$ -ით განსხვავდება  $\text{Sr}^{2+}$  და  $\text{O}^{2-}$  ( $2,67\text{\AA}$ ) იონების ჯამისაგან [4].



ნახ. 5. ა და ბ სტრუქტურებში სტრონციუმის ატომების პოლიედრების ჯაჭვები:

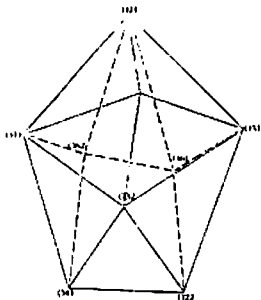


მე-5 ა და ბ ნახ-ებზე მოცემულია ძირითადი საშენი ერთეულის პროექცია. თითოეული სტრუქტურის ერთი შრე ორი მიმართულებით ვრცელდება. მათი უკარატებისას შეიძლება დაგასკვნათ:

- სტრუქტურის აღნაგობის საფუძველი სტრონციუმის ატომების პოლიედრებისგანაა წარმოდგენილი ზიგზაგისებრი ჯაჭვის სახით, რომელებიც ერთმანეთს უკავშირდება საერთო წიბოებით, რის გამოც იდენტურობის პერიოდული ჯაჭვის გასწვრივ ( $7,125\text{\AA}$  პირეელისათვის და  $7,114\text{\AA}$  მეორისათვის) პრაქტიკულად ერთნაირია;
- ჯაჭვები წყლის მოლეკულებისა და მარმარავის მოლეკულების „მეავა“ პროტონითაა გაერთიანებული წყალბადური ბმით და წარმოქმნის შრეებს. მათი ურთიერთობება განპირობებულია გან-დერ-ვალსის ძალებით.

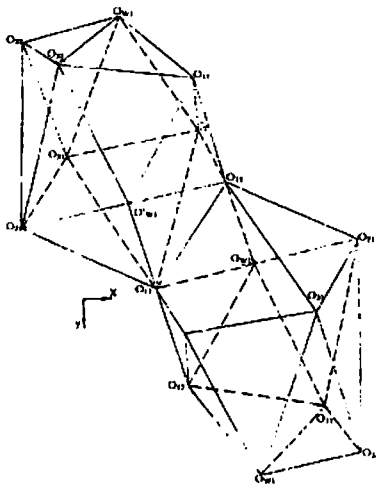
ზემოხსნებულიდან გამომდინარე, შეიძლება დაგასცვნათ. რომ „მაგავა“ აცეტატების ორივე წარმომადგენელი მიკუთხება პიღრატირებული პიღროაცეტატებების ნაერთების ახალ ჰომოლოგიურ სერიას საერთო ფორმულით:  $[M(H_2O)_x(CH_3COO)H]_n(CH_3COO)_nCH_3COO]$ .

ბარიუმის ჰიდროაცეტატის სტრუქტურაში –  $\text{Ba}(\text{CH}_3\text{COO})\text{H}_2(\text{CH}_3\text{COO})_3$  – არსებობს ორი სახის ბარიუმის ატომები, რომლებიც ხასიათდება ერთნაირი ტიპის უანგბადიანი პოლი-კერებისაგან. მეტ ნახ-ზე სამქუდიანი ტრიგონალური პრიზმის სახით წარმოდგენილია  $\text{Ba}\text{-ის}$  ატომის კოორდინაციული პოლიკერები, რომლებიც ერთმანეთს უკავშირდება წიბოკბით და წყვეროებით. წარმოქმნის სეეგებს და წარმოადგენს სტრუქტურის საფუძველს.



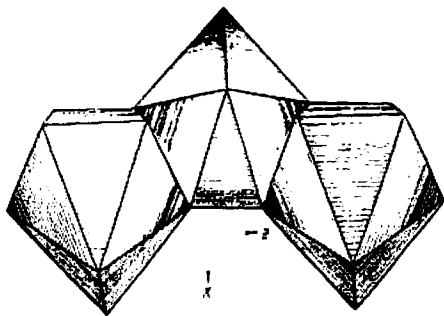
ნახ. 6. ბარიუმის ჰიდროკაციურატის სტრუქტურაში  $\text{BaO}_2$   
კოორდინაციული პოლიედრის პროექცია

[Ba(H<sub>2</sub>O)(CH<sub>3</sub>COO)]·[H(CH<sub>3</sub>COO)<sub>2</sub>] – ბარიუმის ჰიდროკეტეტის მონოჰიდრატის შრეობრივი აღნაგობისაა, რომლის საფუძველია ბარიუმის ატომის უანგბადიანი პოლიელრისაგან შექმნილი ჯაჭვები (ერთქუდიანი ტრიგონალური ანტიპრიზმა). ეს ჯაჭვები ერთმანეთს უკავშირდება წახანგებით შრეებში (Oyz) სიბრტყის პარალელურად (ნახ. 7).



ნახ. 7.  $\text{BaO}_{10}$  კოორდინაციული ჰოლიგოდრის პროექცია  
 $\text{Ba}(\text{H}_2\text{O})(\text{CH}_3\text{COO})_2|\text{H}(\text{CH}_3\text{COO})_2$ : სტრუქტურაში

გამოკელუულია ბარიუმის ჰიდროაცეტატის –  $\text{BaH}(\text{CH}_3\text{COO})_2 \cdot 5\text{H}_2\text{O}$  ალნა-გობა. დადგენილია, რომ ბარიუმის ატომის პოლიედრები ერთმანეთს უკავშირდება წიბოებით, წარმოქმნის ზიგზაგისებრ ჯაჭვებს, ანუ Sr და Ba ნაერთების სტრუქტურების ანალიგიურ სევეტებს (ნახ. 8).



ნახ. 8. ბარიუმის ატომების ჯაჭვები  $\text{BaH}(\text{CH}_3\text{COO})_2 \cdot 5\text{H}_2\text{O}$  სტრუქტურაში

მეთილის ჯგუფები  $\text{Ac}-\text{H}-\dots\text{Ac}$  დიმერებში მიმართულია სიერცეში არსებულ სევეტებს შორის, ბარიუმის ატომები გარშემორჩეულია უანგბადის ცხრა ატომით გადაგვარუბული სამქუდიანი ტრიგონალური პრიზმის მოტივით.

ცსრილიში წარმოდგენილია ლითონის ატომების მეტად გაურცელებული კოორდინაციული პოლიედრები. აღსანიშნავია, რომ ზოგიერთ შემთხვევაში პოლიედრის ფორმის ჩევნება რთულია მისი ძლიერი გადაგვარების გამო. რაც გამოწვეულია წიბოების ან წახნაგების სხვა პოლიედრებთან შერწყმით ან ქარბოქსილის ჯგუფთან ბიდეტანტური მიერთობით.

#### სხვადასხვა ტიპის აცეტატების სტრუქტურები

ნაერთი	სტრუქტურის ტიპი	დიმერის ან ტრიმერის ტიპი	ლითონის ატომის პოლიედრის ტიპი და კ. რ.	პოლიედრის კვშირი
$\text{Ca}_2(\text{Ac})_2 \cdot 2\text{H}_2\text{O}$	სიბრტყის პარალელური შრეები (xoz)	–	დოდეკაედრი აუნანგონალური ბიპირიდი (ერთ-ქვედიანი ოქტაედრი) კ. რ. 8 და 7	$\text{CaO}_6$ და $\text{CaO}_7$ პოლიედრები უკავშირდება წიბოებით და წეროებით სეუტებში /100/ გასწერიე
$\text{CaH}(\text{Ac})_2 \cdot 2\text{H}_2\text{O}$	სევეტები პოლიეტრებიდან დაკავშირებული $\text{H}$ -ბმებით ქარკასში	$\text{Ca}-\text{o}$ ასიმეტრიული	–/-	–/-
$\text{Sr}(\text{Ac})_2 \cdot \text{H}_2\text{O}$	შრეობრიები	–/-	პოლიედრის ორი სახე (დოდეკაედრი) კ. რ. 8	ატომთა პოლიედრები გაერთიანებულია წიბოებით და წახნაგებით შრეებად (xyo)
$\text{Ba}(\text{Ac})_2 \cdot \text{H}_2\text{O}$	–/-	–	სამქუდიანი ტრიგონალური პრიზმა და დოდეკაედრი; კ. რ. 9 და 8	ბარიუმის ატომის პოლიედრები გაერთიანებულია წიბოებით და წეროებით პარალელურად (xyo)

SrH(Ac) <sub>3</sub> ·2H <sub>2</sub> O	-//-	ასიმეტრი-ული დიმერი	ტეტრაგონალური ანტიპრიზმა კ. რ. 8	SrO ჰოლიკური დაკავ-შირებულია ზიგზაგი-სებრი ჯაჭვით პარალელურად /10/
SrH <sub>2</sub> (Ac) <sub>4</sub> ·2H <sub>2</sub> O	-//-	ასიმეტრი-ული ტრიმერი	სამქუდიანი ტრიგონალური პრიზმა კ. რ. 9	SrO ჰოლიკური დაკავ-შირებულია ზიგზაგი-სებრი ჯაჭვით პარალელურად /10/
BaH(Ac) <sub>3</sub> ·H <sub>2</sub> O	-//-	ასიმეტრი-ული დიმერი	ორქუდიანი	BaO ჰოლიკური დაკავ-შირებულია წიბოებით და წახნაგვით ედლებად პარალელურად /11/
BaH <sub>2</sub> (Ac) <sub>4</sub>	სეტეპნ პიდროფობული ზედაპირით	ასიმეტრი-ული ტრიმერი	ტრიგონალური ანტიპრიზმა კ. რ. 10	BaO და Ba <sub>2</sub> O <sub>3</sub> ჰოლიკური დაკავშირებულია წიბოებით და წვეროებით სკელით, მიმართული /100/ გასწერილი
BaH(Ac) <sub>3</sub> ·5H <sub>2</sub> O	ჯაჭვური	დიმერი	ორი ტიპის	BaO ჰოლიკური წიბოებით უკავშირდება და წარმოქმნის სრანისებრ ჯაჭვებს /10/ გასწერილი

მოცემულია აგრეთვე Me-O საშუალო მანძილის ცვლილების მიზეზები:

- კოორდინაციული რიცხვის გაზრდა. არსებობის პირდაპირი დამოკიდებულება კოორდინაციასა და Me-O ხაშუალო მანძილს შორის;
- დითონის ატომის უანგბადიანი პოლიედრის გადაგვარება. რაც უფრო დიდია პოლიედრის გადაგვარების ხარისხი, მით მეტია Me-O საშუალო მანძილი;
- ვაკანსიების არსებობა დითონის ატომის მდგომარეობაში, რაც ასევე ზრდის Me-O საშუალო მანძილს.

რადიუსების ჯამიდან საშუალო მანძილის გადასრა დადი ზომის ატომებისათვის (K, Rb, Cs) უფრო მეტად დაკავშირებულია პოლიედრის გადაგვარების მეტ ხარისხთან, ხოლო შედარებით ნაკლებად = უანგბადის ატომის კოორდინაციულ რიცხვთან [6].

### დასკენა

ამრიგად, პიდრომარილების სტრუქტურებში დითონის ატომის უანგბადიანი პოლიედრების გადაგვარების ანალიზმა ცხადყო, რომ მართადი მიზეზი Me-O ბმის ცვლილებისა არის ცალკეული მანძილის ძლიერი გადასრა საშუალო მანძილიდან, რაც გამოწვეულია კოორდინაციულ სფეროში წყდის მოლექულების არსებობით ან კარბოქსილის ჯგუფის მიერთებით დითონის ატომის პოლიედრთან.

### ლიტერატურა – REFERENCES

1. B.A. Prenz. The enraf-nonus CAD-4-SDP-A real-time system for concurrent x-ray collection and crustal/structure determination//In: Computing in Crystallography-Holland: Delft U.P.1978. - 260 p.
2. E.A. Klop et al. Structure of calcium acetate monohydrate Ca(C<sub>2</sub>H<sub>3</sub>O<sub>2</sub>)<sub>2</sub>·H<sub>2</sub>O//Ibid.V.C. 40. 1984, pp. 51-53.

3. E.A. Klop, A.J.M. Duisenberg, A.L.Spek. Reinvestigation of the structure of calcium copper acetate hexhydrate  $\text{CaCu}(\text{C}_2\text{H}_3\text{O}_2)_4 \cdot 6\text{H}_2\text{O}$  // *Ibid.*, V.C.39, 1983, pp. 1342-1344.
4. R.D. Shannon. Nevised effective ionic radii and systematic studies of interatomic distances in halides and chalcogenides // *Ibid.* V.A.36, 1976, pp. 751-753.

## CHEMISTRY

### STUDY OF OXYGEN POLYHEDRA OF HYDROACETATES OF ALKALINE EARTH METALS

N. Endeladze, M. Chiqovani, N. Kakhidze, L. Khvichia

(A. Tsereteli State University)

**Resume.** The coordination polyhedra in the structure of hydroacetates of alkaline earth metals have been studied. Crystalline formulas of the corresponding compounds hydroacetates: calcium  $\text{CaH}(\text{CH}_3\text{COO})_3 \cdot \text{H}_2\text{O}$ , strontium(2);  $\text{SrH}(\text{CH}_3\text{COO})_3 \cdot 2\text{H}_2\text{O}$ ,  $\text{SrH}_2(\text{CH}_3\text{COO})_2 \cdot 2\text{H}_2\text{O}$ , barium(3);  $\text{BaH}_2(\text{CH}_3\text{COO})_4$ ,  $\text{BaH}(\text{CH}_3\text{COO})_3 \cdot \text{H}_2\text{O}$ ,  $\text{BaH}(\text{CH}_3\text{COO})_3 \cdot 5\text{H}_2\text{O}$ .

The coordination number of metal atoms in polyhedra is in the range of 7-10 and is specifically realized by distorted polyhedra.

In the  $\text{CaH}(\text{CH}_3\text{COO})_3 \cdot \text{H}_2\text{O}$  and  $\text{BaH}_2(\text{CH}_3\text{COO})_4$  structures, the oxygen polyhedra of metal atoms are bound in one way or another (mainly along edges and faces) to form one-dimensionally infinite volumetric columns.

Comparison of the structure of  $\text{Sr}(\text{H}_2\text{O})_2(\text{CH}_3\text{COO})_2 \cdot [\text{H}_2(\text{CH}_3\text{COO})_2]$ , with the structure of the compound  $\text{Sr}(\text{H}_2\text{O})_2(\text{CH}_3\text{COO})[\text{H}(\text{CH}_3\text{COO})_2]$ , indicates a clear similarity of their structures.

The formation of the structures is based on endless zigzag chains of polyhedra of strontium atoms.

Both representatives of "acidic" acetates belong to a new homologous series of compounds – hydrated hydroacetates with the general formula  $\text{M}(\text{H}_2\text{O})(\text{CH}_3\text{COO}) \cdot \text{H}_n[(\text{CH}_3\text{COO})_n \cdot \text{CH}_3\text{COO}]$ .

**Keywords:** bond; coordination; edge; face; hydroacetate; layer; polyhedron.